



# Investigation of the Summer Climate of North America: A Study with a Regional Atmospheric Model

## Investigación del Clima del Verano en Norteamérica: Un Estudio con un Modelo Atmosférico Regional

Christopher L. Castro

Department of Atmospheric Science, Colorado State University  
Department of Atmospheric Sciences, University of Arizona (July 2006)  
E-mail: [castro@atmos.arizona.edu](mailto:castro@atmos.arizona.edu)



## 1. Introduction

The use of a regional climate model to study the summer weather in North America has been limited. Most atmospheric models and global reanalyses are currently available for a period greater than fifty years and include large-scale features. While these models are useful at low resolution they cannot represent important details like the diurnal cycle of convection, low-level winds that transport moisture from the Gulf of California to the interior of the continent, or the maximum of rainfall of the North American monsoon. Simulations results with the CSU RAMS model ( $\Delta x = 35 \text{ km}$ ) which includes the NCAR/NCEP reanalysis as lateral boundary condition are presented. In this summary, emphasis is placed on the model climatology and interannual variability associated with remote sea surface temperatures (SSTs).

## 1. Introducción

El uso de un modelo regional climático para estudiar el tiempo en Norteamérica ha sido limitado. Los modelos atmosféricos y los reanálisis globales actualmente disponibles para un período mayor que cincuenta años y que incluyen características a gran escala. Aunque estos modelos son útiles a resolución espacial baja, no pueden representar detalles importantes como el ciclo diurno de la convección, los vientos de nivel bajo que transportan humedad desde el Golfo de California al interior del continente, o el máximo de precipitación del monzón norteamericano. Se presentan los resultados de simulaciones con el modelo CSU RAMS (que incluye las condiciones de frontera laterales de la reanálisis NCAR/NCEP) que incluye la reanálisis NCAR/NCEP como condición límite lateral. En este resumen, se pone énfasis en la climatología del modelo y la variabilidad interanual asociada con las temperaturas superficiales del mar (TSM) en regiones alejadas.

## 2. Summer Precipitation

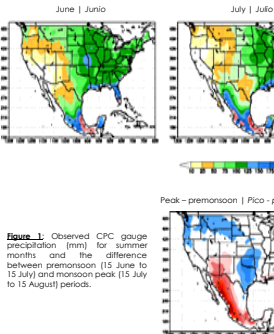


Figure 1: Observed CPC gauge precipitation (mm) for summer months and the difference between premonsoon (15 June to 15 July) and monsoon (15 July to 15 August) periods.

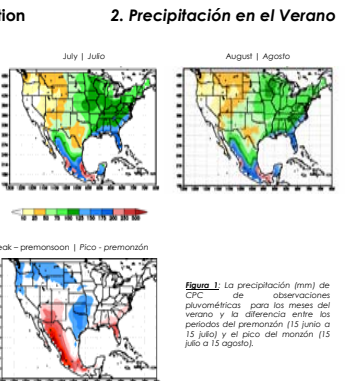


Figure 2: Same as Fig. 1 for RAMS-simulated precipitation.

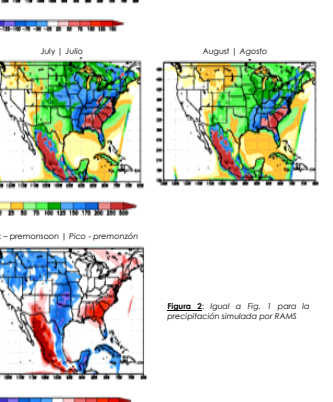


Figure 3: Igual a Fig. 1 para la precipitación simulada por RAMS

The evolution of RAMS-simulated precipitation is responsible for the monsoon onset there is a rainfall maximum in the central U.S. and a rainfall minimum in the core monsoon region. The development of the monsoon in July and August changes the continental precipitation pattern with a dramatic increase in the core monsoon region. The amount of precipitation from the model, in general, is overestimated with respect to gauge observations (a typical result in many models), especially in the southeast U.S. and the Sierra Madre Occidental in México.

La evolución de la precipitación simulada por RAMS es responsable. Antes del inicio del monzón existe un máximo de lluvia en el centro de los EE.UU. y un mínimo de lluvia en la región central del monzón. El desarrollo del monzón en julio y agosto cambia la distribución continental de la precipitación, con un aumento dramático en la región central del monzón. La cantidad de precipitación en el modelo, en general, es sobreestimada con respecto a las observaciones pluviométricas (un resultado típico en muchas modelos), especialmente en el suroeste de los EE.UU. y en la Sierra Madre Occidental en México.

## 2. Precipitación en el Verano

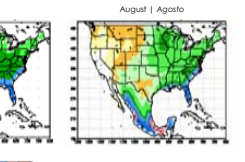


Figure 4: Igual a Fig. 1 para la precipitación simulada por RAMS

## 3. Modes of Convection

RAMS-simulated moisture flux convergence (MFC) is used to identify convective modes. The MFC is calculated using spectral analysis for each year for a moving thirty-day period. The average of all spectra is computed and multiplied by the fraction that is above red noise. Three distinct spectral bands appear, each corresponding to a period of ten days.

**Synoptic mode** (1 to 10 days): Corresponds with surges of moisture from the Gulf of California and the associated passage of upper-level easterly disturbances. Allows convection in the core monsoon region to organize into mesoscale convective complexes that propagate westward from the mountains.

**Sub-synoptic mode** (1.5 to 3 days): Corresponds with mesoscale convective complexes in the central U.S. that propagate eastward.

**Diurnal mode**: Corresponds with convection which occurs due to orographic forcing and land-sea contrast. Is the dominant, and the most important, mechanism for summer rainfall.

## 3. Modos de la Convección

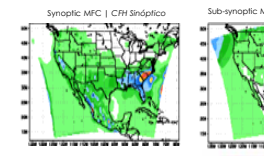


Figure 5: 500-hPa geopotential height anomalies (m) associated with modes of the TSM at the beginning of July. Areas of local significance shaded at 90% and 95% levels. Field significance (I) also shown.

## 4. Global SST Patterns

To investigate interannual climate variability in the RAMS simulations, the dominant patterns of summer global SST and their associated time series were determined using a rotated principal component analysis. SST modes 1 and 3 are centered in the Pacific and strongly govern North American summer rainfall. SST mode 1 is best correlated with a timescale between 2 to 5 years. SST mode 3 is probably related to the Pacific Decadal Oscillation. Other modes show an increase in tropical SST since 1980 which could be a climate change signal. These modes were also determined to be statistically significant in time using multispectral singular value decomposition analysis.

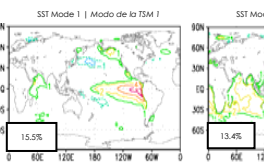


Figure 6: Los tres primeros modos de la TSM (1950 a 2000) y sus series temporales normalizadas. Las unidades de los patrones de la TSM son arbitrarias. Se muestra también el porcentaje de la variación para cada modo.

## 3. Modos de la Convección

La convergencia del flujo de humedad (CHF) simulada por RAMS se usa para investigar los modos de la convección. La CHF se calcula usando análisis espectral para cada año para un período móvil de treinta días. Se calcula la media de todos los espectros y se multiplicó por la fracción que esté por encima del ruido rojo. Tres bandas espectrales distintas aparecen, una asociada con un período de diez días.

**Modo sinóptico** (4 a 10 días): Corresponde a las oleadas de humedad desde el Golfo de California y el paso asociado de perturbaciones de los niveles medios del este. Permiten que la convección en la región central del monzón se organice en complejos convectivos de mesoscalas que se propagan hacia el este.

**Modo sub-sinóptico** (1.5 a 3 días): Corresponde a los complejos convectivos de mesoscalas en el centro de los EE.UU. que se propagan hacia el este.

**Modo diurno**: Corresponde a la convección que ocurre a causa del forzante orográfico y el contraste entre la tierra y el mar. Es el mecanismo dominante, y el más importante, para las lluvias de verano.

## 4. Patrones Globales de la TSM

## 4. Patrones Globales de la TSM

Para investigar la variabilidad interanual del clima en las simulaciones con RAMS, los patrones dominantes de la TSM global en el verano y las series del tiempo asociadas fueron determinados usando un análisis de componentes principales rotado. Los modos 1 y 3 de la TSM están centrados en el Pacífico y gozan de marcadas influencias en el clima del verano en Norteamérica. El modo 1 de la TSM es el ENSO y varía con una escala temporal entre 2 a 5 años. Es probable que el modo 3 de la TSM esté asociado con un cambio en la oscilación Pacifica Decadal. El modo 2 de la TSM refleja un aumento de la TSM tropical desde 1980, este resultado es similar a la oscilación Pacifica Decadal. Los cambios en la precipitación en el oeste de México, sin embargo, los resultados del modelo indican que la precipitación en el verano en el oeste de México tiene tendencias similares a las observaciones pluviométricas. La variabilidad de la CHF muestra que las tendencias también existen en las observaciones pluviométricas. La variabilidad de la CHF muestra que la continente separa claramente las regiones con relaciones diferentes entre la precipitación y la TSM en regiones alejadas.

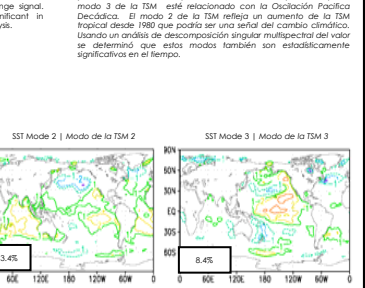


Figure 7: Los primeros tres modos de la TSM (1950 a 2000) y sus series temporales normalizadas. Las unidades de los patrones de la TSM son arbitrarias. Se muestra también el porcentaje de la variación para cada modo.

Jimmy O. Adegoke  
Laboratory for Climate Analysis and Modeling  
Department of Geosciences  
University of Missouri, Kansas City

Colorado State University  
Knowledge to Go Places

UMKC  
University of Missouri-Kansas City

THE UNIVERSITY OF ARIZONA  
Tucson, Arizona  
Knowledge to Go Places

Colorado  
University of Colorado-Boulder

## 5. Summer Teleconnections

Years are grouped according to the dominant SST modes in the Pacific using composite analysis. Patterns particular to each mode are identified and discussed. The SST modes in the Pacific. These patterns evolve in time and are predominant at the beginning of the summer. At that time, the propagation of both the tropics and the monsoon is evident. When the upper-level winds in the Pacific diminish at the end of July, the source of Rossby waves also diminishes and the teleconnections cease.

### SST Mode 1 | Modo de la TSM 1

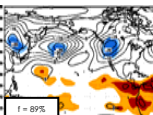


Figure 8: Anomalías del geopotencial en 500-hPa (m) asociadas con el modo de la TSM 1 en julio, a principios de julio. Se sombrean las áreas significativas locales para los niveles de 90% y 95%. Se muestra también la significancia (I) del mapa [7].

### SST Mode 2 | Modo de la TSM 2

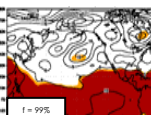


Figure 9: Anomalías del geopotencial en 500-hPa (m) asociadas con el modo de la TSM 2 en julio, a principios de julio. Se sombrean las áreas significativas locales para los niveles de 90% y 95%. Se muestra también la significancia (I) del mapa [7].

### SST Mode 3 | Modo de la TSM 3

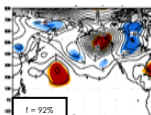


Figure 10: Anomalías del geopotencial en 500-hPa (m) asociadas con el modo de la TSM 3 en julio, a principios de julio. Se sombrean las áreas significativas locales para los niveles de 90% y 95%. Se muestra también la significancia (I) del mapa [7].

## 6. Model Interannual Variability

Las telecomunicaciones asociadas con los modos de la TSM que varían interanualmente en el verano están relacionadas con el inicio del monzón en el Pacífico y el desarrollo de la precipitación en el continente. Los resultados del modelo indican que la precipitación en el verano en el oeste de México tiene tendencias similares a las observaciones pluviométricas. La variabilidad de la CHF muestra que la continente separa claramente las regiones con relaciones diferentes entre la precipitación y la TSM en regiones alejadas.

### SST Modes 1 and 3 | Modos de la TSM 1 y 3

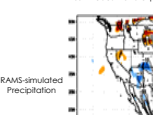


Figure 11: RAMS-simulated Precipitation

### SST Mode 2 | Modo de la TSM 2

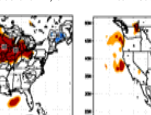


Figure 12: Precipitación simulada por RAMS

### CRH Diurna simulada por RAMS

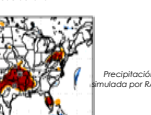


Figure 13: CRH Diurna simulada por RAMS

Figure 14: Las anomalías de la precipitación (mm) simuladas por RAMS y el cambio en el porcentaje de la CHF simulada por RAMS asociadas con los modos globales de la TSM. En los mapas de la precipitación, se sombrean las áreas significativas para los niveles de 90% y 95% y se muestra también la significancia (I) del mapa [7].